

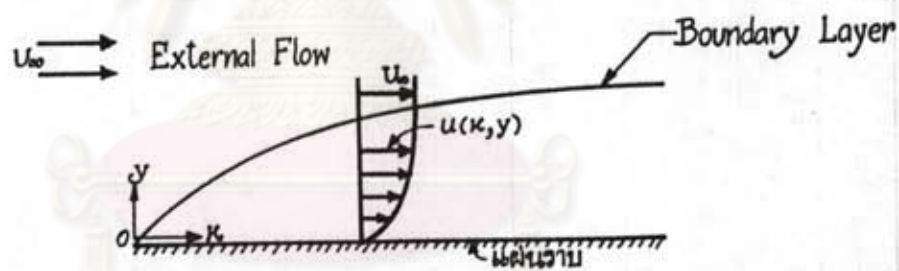
บทที่ 2

ทฤษฎีที่เกี่ยวข้องกับการวิจัย

2.1 นิยามของ Boundary Layer

Prandtl เป็นผู้ให้คำนิยามสำหรับ Boundary Layer ไว้ว่า "เมื่อของไหลที่มีความหนืดอย่างมากไหลผ่านผิวของวัตถุ ขอบเขตของการไหล (region of flow) ของของไหลบริเวณเนื้อผิวของวัตถุที่มีการไหลผ่านของของไหลดังกล่าว จะแบ่งออกเป็น 2 ส่วนคือ

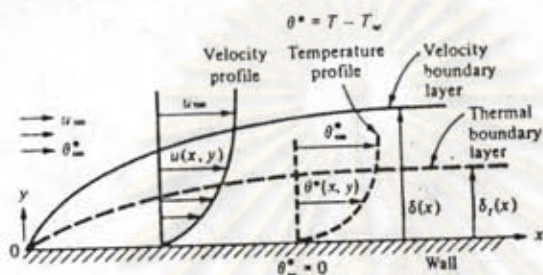
- 1) ชั้นของของไหลที่มีลักษณะบางมาก บริเวณใกล้กับผิวของวัตถุ เรียกว่า "Boundary Layer" (ดูรูปที่ 2.1)
- 2) ชั้นของของไหล บริเวณส่วนนอกของ Boundary Layer เรียกว่า "Potential flow" หรือ "External flow" ของไหลในส่วนนี้จะมีความเร็ว (Free Stream Velocity) และอุณหภูมิคงที่"



รูปที่ 2.1 การเกิด Boundary Layer เมื่อของไหลไหลผ่านวัตถุที่มีผิวนาน

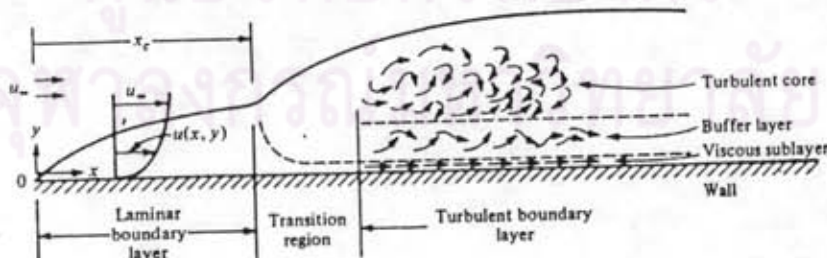
Boundary Layer เกิดจากอิทธิพลของแรงเสียดทานการไหล (shear force) ซึ่งเกิดขึ้นเนื่องจากคุณสมบัติความหนืด (viscosity) ของของไหล ซึ่งแรงเสียดทานการไหลนี้จะกระทำต่ออนุภาคของของไหลในบริเวณใกล้กับผิวของวัตถุ ทำให้อนุภาคของของไหลมีการเคลื่อนที่ช้าลง ปริมาณแรงเสียดทานการไหลที่กระทำต่ออนุภาคของของไหลจะไม่ส่งเสริมอิทธิพลนี้ต่อการไหล แต่จะชี้นำอยู่กับระยะห่างจากผิวของวัตถุ โดยจะมีค่ามากที่สุดที่ผิวของวัตถุ ดังนี้จึงทำให้เกิดค่าเกรเดียนท์ของความเร็ว (Velocity Gradient) ขึ้นที่บริเวณใกล้กับผิวของวัตถุ ค่าเกรเดียนท์ของความเร็วนี้ เป็นตัวการที่ทำให้เกิดความแตกต่างของความเร็วของของไหลที่แต่ละหน้าตัดของการไหล เมื่อของไหลไหลผ่านผิวของวัตถุเป็นระยะทางมากขึ้น แรงเสียดทานการ

ในลมมีค่ามากขึ้นทำให้ค่าเกรเดียนท์ของความเร็วมากขึ้นตามไปด้วย ดังนี้ถ้าทำการพล็อตจุดในตำแหน่งที่ความเร็วของของในลมในแนวแกนจะมีค่าเท่ากัน 99% ของความเร็วในช่วง External Flow ไปตามแนวแกนแล้ว จะได้เส้นแบ่งขอนเขตของการไหลเนื่องจากความเร็วที่แตกต่างกันเรียกว่า "Velocity boundary-layer" (ดูรูปที่ 2.2) ทำนองเดียวกันแรงเสียดทานการไหลก็มีอิทธิพลต่ออุณหภูมิของของในบริเวณใกล้กับผิวของวัสดุ ทำให้เกิดค่าเกรเดียนท์ของอุณหภูมิ (Temperature Gradient) และเกิดการแบ่งขอนเขตของการไหล เนื่องจากความแตกต่างของอุณหภูมิของของในลิ้น เรียกว่า "Thermal boundary-layer"



รูปที่ 2.2 Velocity และ Thermal boundary-layer ที่เกิดขึ้นเนื่องจากของในลมไหลผ่านแผ่นร้าบ

สำหรับของในลมที่มีการไหลแบบราบเรียบ (smooth) ในระยะแรกของการไหลผ่านผิวของวัสดุ จะเกิด Boundary Layer ชนิด Laminar boundary-layer. (ดูรูปที่ 2.3) แต่เมื่อความหนาของ Laminar boundary-layer เพิ่มขึ้นเรื่อยๆ ในขณะที่การไหลมีระยะมากขึ้นจนกระทั่งถึงระยะวิกฤต จะเกิดการรบกวนการไหลภายใน Boundary Layer เรียกว่างานนี้ว่า "Transition region" หลังจากผ่านช่วงนี้ไปแล้วจะเกิดการเปลี่ยนแปลง Boundary Layer เป็น Turbulent boundary-layer ซึ่งอนุภาคของของในลมในช่วงนี้จะมีทิศทางการเคลื่อนที่ไม่แน่นอน อย่างไรก็ตามในบริเวณใกล้กับผิวของวัสดุมากท่านนั้น อนุภาคของของในลมยังคงมีการเคลื่อนที่แบบราบเรียบ จึงเกิดการแบ่งชั้นของการไหลในส่วนนี้เรียกว่า "Viscous sublayer"



รูปที่ 2.3 การเกิด Laminar และ Turbulent boundary-layers เนื่องจากของในลมผ่านแผ่นร้าบที่มีความยาวมากๆ

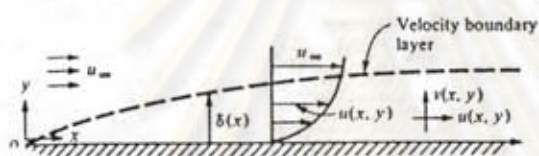
ในการวิจัยนี้ จะทำการศึกษาการไหลของของในลมผ่านแผ่นร้าบในช่วงของ Laminar

boundary-layer เก่านั้น ดังนี้ส่วนเกี่ยวข้องที่จะต้องทำการศึกษาได้แก่ Velocity boundary-layer และ Thermal boundary-layer ที่เกิดขึ้นแผ่นทราบ

2.1.1 Velocity Boundary-layer บนแผ่นทราบ

เพื่อให้การแก้ปัญหาทางคณิตศาสตร์ง่ายขึ้นจึงตั้งสมมติฐานสำหรับของไอลที่ในล่างแผ่นทราบ ดังต่อไปนี้

1. ของไอลมีคุณสมบัติเป็นของไอลอตตัวไม่ได้ (Incompressible fluid) ลักษณะของการไอลไม่ซึ้งกับเวลา (steady flow).
2. ความดันของของไอลในแนวแกน y มีค่าคงที่ ($\frac{dp}{dy} = 0$)
3. ของไอลมีคุณสมบัติทางกายภาพคงที่ตลอดช่วงการไอลผ่านแผ่นทราบ



รูปที่ 2.4 โคออร์ดิเนตของความเร็วของของไอลภายใน Velocity boundary-layer ที่เกิดขึ้นบนแผ่นทราบ

กำหนดให้ $u(x, y), v(x, y)$ เป็นความเร็วของของไอลภายใน Boundary Layer ในแนวแกน x และ y ตามลำดับ (ดังรูปที่ 2.4)

U_{∞} เป็นความเร็วของการไอลในช่วง external flow

$\delta(x)$ เป็นความหนาของ velecity boundary-layer ที่ระยะ x ได้โดยทั่วไปในทางปฏิบัติจะถือว่า $\delta(x)$ คือต่ำแห่งในแนวแกน y ที่ความเร็ว $u(x, y)$ มีค่าประมาณ 99% ของ U_{∞} แต่ในการแก้ปัญหาทางทฤษฎี จะสมมติให้ $u(x, y) \approx U_{\infty}$

สมการการเคลื่อนที่ของของไอล ซึ่งจะนำมาใช้หาความล้มเหลวในรูปสมการของความเร็วของของไอลภายใน Velocity boundary-layer ได้แก่ สมการความต่อเนื่องของการไอล (Continuity equation) และ สมการโมเมนตัมของการเคลื่อนที่ (Momentum equation of motion)

$$\text{สมการ Continuity : } \frac{\partial u}{\partial x} + \frac{\partial v}{\partial y} = 0 \quad \dots \dots (2.1)$$

สมการโมเมนตัมในแกน x ; $\rho(\partial u/\partial x + v\partial u/\partial y) = \rho g \partial^2 u / \partial y^2 - dp/dx \dots (2.2)$
จากรูปที่ 2.4 จะได้เงื่อนไขของสภาวะขอนเขต (Boundary Conditions) ดังนี้คือ

$$\text{ที่} \quad y=0 \quad ; \quad u(x,y)=0, \quad v(x,y)=0 \quad \dots (2.3a)$$

$$\text{ที่} \quad y = \delta(x) \quad ; \quad u(x,y) = U_\infty \quad \dots (2.3b)$$

สำหรับสมการโมเมนตัมในแกน y นี้มิได้นำมาเกี่ยวข้องในการแก้ปัญหา เพราะว่าความดันในทิศทาง y ไม่มีการเปลี่ยนแปลง นอกจากนี้เทอม dp/dx ในสมการที่ (2.2) มีค่าเป็นคุณ্য์จากการแทนค่าเงื่อนไขจากสมการที่ (2.3b) ลงในสมการที่ (2.2)

เพื่อที่จะหาสมการการกระจายความเร็วใน velocity boundary-layer จะใช้ วิธีอินทิเกรต (Integral method) ซึ่งเป็นวิธีประมาณค่า (approximation) นำมานั้นมาใช้ เป็นครั้งแรกโดย von Kármán มีขั้นตอนการแก้ปัญหาดังต่อไปนี้

ขั้นตอนที่ 1 ทำการอินทิเกรต (integrate) สมการที่ (2.2) เทียบกับ y ในช่วง $0 < y < \delta(x)$

$$\int_0^{\delta(x)} u(\partial u / \partial x) dy + \int_0^{\delta(x)} v(\partial u / \partial y) dy = \left. \frac{\rho}{2} (\partial u / \partial y)^2 \right|_y=0 - \left. \frac{\rho}{2} (\partial u / \partial y)^2 \right|_{y=\delta(x)}$$

แทนค่าสมการที่ (2.3b) ลงในสมการข้างบน เทอม $\partial u / \partial y \Big|_{y=\delta(x)} = 0$ จะได้ว่า

$$\int_0^{\delta(x)} u(\partial u / \partial x) dy + \int_0^{\delta(x)} v(\partial u / \partial y) dy = - \left. \frac{\rho}{2} \partial u / \partial y \right|_{y=0} \dots (2.4)$$

โดยที่ $u \equiv u(x,y)$ และ $\delta = \delta(x)$

แทนค่าสมการที่ (2.1) ลงในสมการ (2.4) แล้วจัดรูปใหม่เพื่อขอจัดตัวแปร $v(x,y)$ ออกจาก สมการจะได้ว่า

$$d \left\{ \int_0^{\delta} u(U_\infty - u) dy \right\} / dx = \left. \frac{\rho}{2} \partial u / \partial y \right|_{y=0} ; \quad 0 < y < \delta \quad \dots (2.5)$$

สมการที่ (2.5) มีชื่อเรียกว่า "the momentum integral equation"

ขั้นตอนที่ 2 เลือกสมการการกระจายความเร็ว $u(x,y)$ ในช่วง $0 < y < \delta(x)$ ให้อยู่ในรูปของ สมการโพลีโนเมียลกำลังสาม (cubic polynomial) ดังสมการ

$$u(x,y) = a_0 + a_1 y + a_2 y^2 + a_3 y^3 \quad \dots (2.6)$$

โดยที่ a_0, a_1, a_2, a_3 เป็นค่าสัมประสิทธิ์ซึ่งเป็นฟังก์ชันของ x การหาค่าสัมประสิทธิ์เหล่านี้จะต้องใช้เงื่อนไขจากสภาวะขอนเขต 4 ประการดังนี้คือ

$$\text{ที่รยะห์ } y=0 ; \quad u = 0 \text{ และ } \frac{\partial^2 u}{\partial y^2} = 0 \quad \dots\dots(2.7a)$$

$$\text{ที่รยะห์ } y=\delta ; \quad u = U_\infty \text{ และ } \frac{\partial u}{\partial y} = 0 \quad \dots\dots(2.7b)$$

เทอมที่สองของสมการที่ (2.7a) ได้จากการแทนค่าสมการที่ (2.3a) ลงในสมการที่ (2.2) เมื่อแทนค่าเงื่อนไขต่างๆจากสมการที่ (2.7a) และ (2.7b) ลงในสมการที่ (2.6) จะสามารถหาค่าสัมประสิทธิ์ a_0, a_1, a_2, a_3 ในเทอมของ $\delta(x)$ เมื่อแทนค่าที่หาได้ลงในสมการที่ (2.6) จะได้สมการการกระจายของความเร็วตั้งนี้

$$u(x,y)/U_\infty = (3y/2\delta) - (y/\delta)^3/2 \quad \dots\dots(2.8)$$

ขั้นตอนที่ 3 แทนค่าสมการการกระจายความเร็วลงในสมการที่ (2.5)

$$U_\infty^2 \frac{d}{dx} \left\{ \int_0^\delta \left[\frac{3y}{2\delta} - \frac{1}{2} \left(\frac{y}{\delta} \right)^3 \right] \left[1 - \frac{3y}{2\delta} + \frac{1}{2} \left(\frac{y}{\delta} \right)^3 \right] dy \right\} = \nu U_\infty \frac{3}{2\delta} \quad \dots\dots(2.9)$$

ทำการอินทิเกรตแล้วจัดรูปใหม่

$$\delta d\delta = (140\nu/13U_\infty) dx \quad \dots\dots(2.10)$$

สมการที่ (2.10) เป็น Ordinary differential equation ซึ่งสามารถแก้ล้มการได้โดยอาศัยเงื่อนไขที่สภาวะขอนเขตคือ

$$\text{ที่รยะห์ } x=0 ; \quad \delta(x) = 0 \quad \dots\dots(2.11)$$

อินทิเกรตสมการที่ (2.10) ในช่วงระหว่าง $x=0$ ถึง x และ $y=0$ ถึง $\delta(x)$ แล้วแทนค่าด้วยสมการที่ (2.11) จะได้ค่าตอบดังสมการข้างล่าง

$$\delta^2(x) = 280\nu x / 13U_\infty \quad \dots\dots(2.12)$$

เมื่อกำการอกรากกำลังสอง จะได้ค่าของความหนาของ velocity boundary-layer ดังนี้

$$\delta(x) = 4.64(\nu x/U_\infty)^{1/2} \quad \dots\dots(2.13)$$

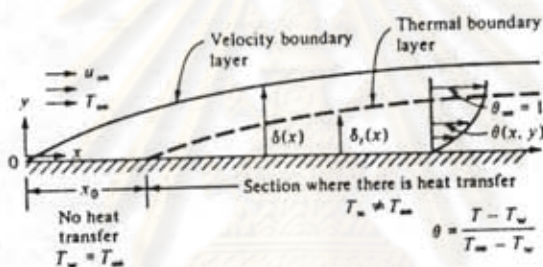
จัดรูปสมการที่ (2.13) ใหม่

$$\delta(x)/x = 4.64/Re_x^{1/2} \quad \dots \dots (2.14)$$

เมื่อ Re_x คือ ค่า Local Reynold number มีค่าเท่ากับ $U_\infty x/\nu$

2.1.2 Thermal Boundary-layer บนผิวน้ำ

พิจารณาของไอลที่มีอุณหภูมิ T_∞ ไหลผ่านแผ่นร้อนด้วยความเร็ว U_∞ ลักษณะการไหลเป็นแบบ laminar flow แผ่นร้อนถูกรักษาให้มีอุณหภูมิคงที่เท่ากับ T_w สมมติว่าการถ่ายเทความร้อนระหว่างแผ่นร้อนกับไอล เริ่มเกิดขึ้นที่ตำแหน่ง $x=x_0$ ตั้งนี้ในช่วง $0 < x < x_0$ อุณหภูมิของแผ่นร้อนจะมีค่าเป็น T_∞ และในช่วง $x > x_0$ อุณหภูมิของแผ่นร้อนจะเป็น T_w ด้วยเหตุนี้ Thermal Boundary-layer จะเริ่มเกิดที่ตำแหน่ง $x=x_0$ (ดูรูปที่ 2.5)



รูปที่ 2.5 โคออร์ดิเนตของอุณหภูมิของไอลภายใน Thermal boundary-layer ที่เกิดขึ้นบนแผ่นร้อน

กำหนดให้ $T(x, y)$ เป็นค่าอุณหภูมิที่ตำแหน่ง x, y ได้โดย ของไอลภายใน Thermal-Boundary-layer

$\delta_e(x)$ เป็นความหนา (Thickness) ของ Thermal Boundary-layer

ในทางปฏิบัติถือว่า $\delta_e(x)$ คือระยะในแกน y ที่อุณหภูมิ $T(x, y)$ มีค่าประมาณ 99% ของ T_∞ แต่ในทางทฤษฎี จะสมมติให้ที่ระยะ $y = \delta_e(x)$ อุณหภูมิ $T(x, y)$ มีค่าเท่ากับ T_w โดยประมาณ สมการพลังงาน (Energy equation) สារับของไอลชนิดอัดตัวไม่ได้มีการไหลแบบไม่ขึ้นกับเวลา (steady flow) ของไอลมีคุณสมบัติทางกายภาพคงที่ตลอดการไหลและไม่คิดผลเนื่องจากความหนืดในไอลที่มีต่ออุณหภูมิของไอล จะเป็นดังสมการ

$$u \partial T / \partial x + v \partial T / \partial y = \alpha \partial^2 T / \partial y^2 ; T = T(x, y) \dots \dots (2.15)$$

α คือคุณสมบัติ Thermal Diffusivity มีค่าเท่ากับ $k/\rho C_p$

สมมติเทอมไร้มิติ

$$\theta(x,y) = (T(x,y) - T_s)/(T_\infty - T_s) \quad \dots \dots (2.16)$$

สมการที่ (2.15) สามารถเรียบใหม่ในรูปของเทอมไร้มิติ $\theta \equiv \theta(x,y)$ ได้ดังนี้

$$u\partial\theta/\partial x + v\partial\theta/\partial y = \alpha\partial^2\theta/\partial y^2 ; \quad x > x_o \quad \dots \dots (2.17)$$

จากกฎที่ 2.5 จะได้ลักษณะเด่น ที่จะนำมาใช้ในการแก้สมการดังนี้

$$\text{ที่ระยะ } y=0 ; \quad \theta(x,y) = 0 \quad \dots \dots (2.18a)$$

$$\text{ที่ระยะ } y = \delta_t(x) ; \quad \theta(x,y) = 1 \quad \dots \dots (2.18b)$$

การวิเคราะห์จากการกระจายของอุณหภูมิ $T(x,y)$ จะยังคงใช้วิธีอินทิกรัล(Integral method) ซึ่งมีขั้นตอนการแก้ปัญหาดังต่อไปนี้

ขั้นตอนที่ 1 ทำการอินทิเกรตสมการที่ (2.15) เทียบกับตัวแปร y ทั้งแต่ $y=0$ ถึง $y=H$ เมื่อ H เป็นค่าคงที่มีค่ามากกว่า $\delta_t(x)$ และ $\delta_u(x)$ จะได้สมการข้างล่างนี้

$$\int_0^H u(\partial\theta/\partial x)dy + \int_0^H v(\partial\theta/\partial y)dy = \alpha(\partial\theta/\partial y \Big|_{y=H} - \partial\theta/\partial y \Big|_{y=0}) \quad \dots \dots (2.19)$$

เนื่องจากเงื่อนไขในสมการที่ (2.18b) จะได้ว่า $\partial\theta/\partial y \Big|_{y=H} = 0$ ดังนั้นสมการที่ (2.19) จะเหลือเพียง

$$\int_0^H u(\partial\theta/\partial x)dy + \int_0^H v(\partial\theta/\partial y)dy = -\alpha(\partial\theta/\partial y \Big|_{y=0}) \quad \dots \dots (2.20)$$

แทนค่าสมการที่ (2.1) ลงในสมการที่ (2.20) แล้วจัดรูปสมการใหม่เพื่อขอจัดตัวแปร $v(x,y)$ ออกจากสมการ จะได้สมการข้างล่างนี้

$$d[\int_0^H u(1-\theta)dy]/dx = \alpha\partial\theta/\partial y \Big|_{y=0} \quad \dots \dots (2.21)$$

สมการที่ (2.21) มีชื่อเรียกว่า "The Energy Integral equation"

ขั้นตอนที่ 2 เลือกสมการการกระจายของอุณหภูมิ $T(x,y)$ ให้อยู่ในรูปของสมการโพลีโนเมียลกำลังสาม(Cubic Polynomial) ดังนี้

$$\theta(x,y) = b_o + b_1y + b_2y^2 + b_3y^3 \quad \dots \dots (2.22)$$

โดยที่ b_0, b_1, b_2, b_3 เป็นค่าสัมประสิทธิ์คงที่ การแก้สมการเพื่อหาค่าสัมประสิทธิ์เหล่านี้จะต้องอาศัยเงื่อนไขจากสภาวะขอบเขต 4 ประการคือ

$$\text{ที่ระยะ } y=0 ; \quad \theta(x,y) = 0 \text{ และ } \partial^2\theta/\partial y^2 = 0 \quad \dots(2.23a)$$

$$\text{ที่ระยะ } y = \delta_t(x) ; \quad \theta(x,y) = 1 \text{ และ } \partial\theta/\partial y = 0 \quad \dots(2.23b)$$

เงื่อนไขที่สองในสมการ (2.23a) ได้จากการแทนค่า $u(x,y) \Big|_{y=0} = 0 = v(x,y) \Big|_{y=0}$ ลงในสมการที่ (2.17) เมื่อทำการแทนค่าสมการที่ (2.23a) และ (2.23b) ลงในสมการที่ (2.22) จะได้สมการการกระจายของอุณหภูมิดังนี้

$$\theta(x,y) = \frac{3y}{2\delta_t} - \frac{1}{2}\left(\frac{y}{\delta_t}\right)^3 \quad \dots(2.24)$$

แทนค่าสมการที่ (2.8) และสมการที่ (2.24) ลงในสมการที่ (2.21) จะได้ความสัมพันธ์ดังนี้

$$\frac{d}{dx} \left\{ U_\infty \int_0^{\delta_t} \left[\frac{3y}{2\delta} - \frac{1}{2}\left(\frac{y}{\delta}\right)^3 \right] \left[1 - \frac{3y}{2\delta_t} + \frac{1}{2}\left(\frac{y}{\delta_t}\right)^3 \right] dy \right\} = \frac{3\alpha}{2\delta_t} \quad \dots(2.25a)$$

$$\begin{aligned} \text{หรือ } \frac{d}{dx} \left\{ \int_0^{\delta_t} \left[\left(\frac{3}{2\delta}\right)y - \left(\frac{9}{4\delta\delta_t}\right)y^2 + \left(\frac{3}{4\delta\delta_t^3}\right)y^4 - \left(\frac{1}{2\delta^3}\right)y^3 + \left(\frac{3}{4\delta^3\delta_t}\right)y^6 - \left(\frac{1}{4\delta^3\delta_t^3}\right)y^7 \right] dy \right\} &= \frac{3\alpha}{2\delta_t} \\ \text{ทำการอินทิเกรตสมการที่ (2.25b) ตลอดทั้งสมการจะได้} &= \frac{3\alpha}{2\delta_t U_\infty} \end{aligned} \quad \dots(2.25b)$$

$$\frac{d}{dx} \left(\frac{3\delta_t^2}{4\delta} - \frac{3\delta_t^2}{4\delta} + \frac{3\delta_t^2}{20\delta} - \frac{1\delta_t^4}{8\delta^3} + \frac{3\delta_t^4}{20\delta} - \frac{1\delta_t^4}{28\delta^3} \right) = \frac{3\alpha}{2\delta_t U_\infty} \quad \dots(2.26)$$

กำหนดให้ $\Delta(x) = \delta_t(x)/\delta(x)$ แล้วแทนค่าลงในสมการที่ (2.26) จะได้ว่า

$$\frac{d}{dx} \left[\delta \left(\frac{3\Delta^2}{20} - \frac{3\Delta^4}{280} \right) \right] = \frac{3\alpha}{2\delta\Delta U_\infty} ; \quad \Delta \equiv \Delta(x) \quad \dots(2.27)$$

เพื่อทำให้สมการที่ (2.27) มีรูปแบบที่ง่ายต่อการแก้สมการ จึงพิจารณาในกรณีที่ $\delta_t(x) > \delta(x)$ กรณีดังกล่าวจะเป็นจริง เมื่อของไนลอนมีค่า Prandtl number มากกว่าหนึ่ง ($Pr > 1$) ดังนั้นเมื่อสมมติให้ของไนลอนมีค่า $Pr > 1$ จะได้ว่า $\Delta(x) < 1$ ทำให้เทอม $3\Delta^4/280$ มีค่าน้อยมากเมื่อเทียบกับเทอม $3\Delta^2/20$ จึงตัดทิ้งไปได้ สมการที่ (2.27) จึงเหลือเพียง

$$\delta \Delta \frac{d}{dx} (\delta \Delta^2) = \frac{10\alpha}{U_\infty} \quad \dots(2.28)$$

ทำการคิดฟีเฟอเรนซิเอตสมการที่ (2.28) เทียบกับตัวแปร x จะได้ว่า

$$2\delta^2 \Delta^2 (\frac{d\Delta}{dx}) + \Delta^3 \delta (\frac{d\delta}{dx}) = 10x/U_\infty$$

หรือ

$$(2\delta^2/3) \{d(\Delta^3)/dx\} + \delta \Delta^3 = 10x/U_\infty \quad \dots \dots (2.29)$$

จากสมการของ $\delta(x)$ (สมการที่ (2.12)) เมื่อนำมาคิดฟีเฟอเรนซิเอตเทียบกับ x จะได้

$$\delta d\delta/dx = 140v/13U_\infty \quad \dots \dots (2.30)$$

แทนค่าสมการที่ (2.30) ลงในสมการที่ (2.29) จะได้ว่า

$$x(d(\Delta^3)/dx) + 3\Delta^3/4 = 39x/56v \quad \dots \dots (2.31)$$

สมการที่ (2.31) เป็นสมการ ordinary differential กำลังหนึ่งของค่า Δ^3 จากการแก้สมการโดยหา particular solution และ complementary solution ได้ general solution ดังนี้

$$(\Delta(x))^3 = Cx^{-3/4} + 13x/14v \quad \dots \dots (2.32)$$

โดยที่ C คือค่าคงที่ ซึ่งสามารถหาค่าได้โดยอาศัยเงื่อนไขจากสภาวะขอบเขตต่อไปนี้

$$\text{ที่} \quad x = x_0; \quad \Delta(x) = 0 \quad \dots \dots (2.33)$$

แทนค่าสมการที่ (2.33) ลงในสมการที่ (2.32) จะได้ว่า

$$(\Delta(x))^3 = (13/14)Pr^{-1}[1 - (x_0/x)^{3/4}] \quad \dots \dots (2.34)$$

เมื่อ Pr คือ ค่า Prandtl number เท่ากับ v/α

ถ้าหาก假定ว่า การถ่ายเทความร้อนระหว่างผิวของแผ่นราบกับของไอล เริ่มเกิดขึ้นที่ตำแหน่ง $x=0$ แทนค่า $x=x_0$ ลงในสมการที่ (2.34) จะได้ว่า

$$\Delta(x) = \delta_e(x)/\delta(x) = (13/14)^{1/3} Pr^{-1/3} = 0.975 Pr^{-1/3} \quad \dots \dots (2.35)$$

เมื่อแทนค่า $\delta_t(x)$ จากสมการที่ (2.14) ลงในสมการที่ (2.35) จะได้สมการของ $\delta_t(x)$ ดังนี้

$$\delta_t(x) = 4.51x / (\text{Re}_x^{1/2} \text{Pr}^{1/3}) \quad \dots \dots (2.36)$$

2.2 การพาความร้อนแบบบังคับแบบผ่านระบบ (Force convective heat transfer over flat-plate)

การถ่ายเทความร้อนแบบผ่านพิษของแผ่นราบกับของไหหลังที่ให้ผลลัพธ์ จะเป็นการถ่ายเทความร้อนแบบการนำความร้อน (Conduction heat transfer) ซึ่งมีสมการดังต่อไปนี้

$$\begin{aligned} q(x) &= -k \frac{\partial T(x,y)}{\partial y} \Big|_{y=0} \\ q(x) &= k(T_\infty - T_s) \frac{\partial \theta}{\partial y} \Big|_{y=0} \end{aligned} \quad \dots \dots (2.37)$$

เมื่อ k คือค่าคุณสมบัติความนำความร้อน (thermal conductivity) ของไหหลังที่ให้ผลลัพธ์ เป็น $\text{W}/\text{m}\cdot\text{K}$ (ระบบ SI)

$q(x)$ คืออัตราการถ่ายเทความร้อนต่อหน่วยพื้นที่ สามารถหาค่าได้จาก Newton's law of cooling ดังสมการข้างล่างนี้

$$q(x) = h(x)(T_\infty - T_s) \quad \dots \dots (2.38)$$

เมื่อ $h(x)$ คือค่าสัมประสิทธิ์การถ่ายเทความร้อนแบบการพาความร้อน (Local convective heat transfer coefficient) มีหน่วย $\text{W}/\text{m}^2\cdot\text{K}$

จากสมการที่ (2.37) และ (2.38) จะได้ความสัมพันธ์ดังต่อไปนี้

$$h(x) = k \frac{\partial \theta}{\partial y} \Big|_{y=0} \quad \dots \dots (2.39)$$

เมื่อนำสมการที่ (2.24) มาทำการติดไฟเรนชิเอตเทียบกับตัวแปร y แล้วแทนค่า $y=0$ ได้ว่า

$$\frac{\partial \theta}{\partial y} \Big|_{y=0} = 3/2\delta_t \quad \dots \dots (2.40)$$

แทนค่าสมการที่ (2.40) ลงในสมการที่ (2.39)

$$h(x) = 3k/2\delta_x \quad \dots\dots (2.41)$$

แทนค่า δ_x จากสมการที่ (2.36) ลงในสมการที่ (2.41) แล้วจดรูปใหม่ จะได้ว่า

$$Nu_x = h(x)x/k \quad \dots\dots (2.42)$$

หรือ

$$Nu_x = 0.331Pr^{1/3}Re^{1/2} \quad \dots\dots (2.43)$$

เมื่อ Nu_x คือค่า Local Nusselt number

สมการที่ (2.43) เป็นสมการล้าหัวประมาณค่า(approximation solution)เท่านั้น ส่วน สมการที่ถูกต้อง(exact solution) จะได้จากสมการที่วิเคราะห์โดย Pohlhausen ซึ่งมีรูป สมการดังนี้

$$Nu_x = 0.332Pr^{1/3}Re^{1/2}; Re_x < 5 \times 10^5 \quad \dots\dots (2.44)$$

สมการที่ (2.43) ได้จากวิธีประมาณค่าโดยสมมติว่าของไอลมีค่า $Pr > 1$ แต่อย่างไรก็ตามเมื่อ เปรียบเทียบกับสมการที่ (2.44) ซึ่งเป็นสมการ exact และ พนว่าสมการที่ (2.43) มีความ ถูกต้องล้าหัวค่า Prandtl number ในช่วงตั้งแต่ 0.6 ถึง 10 ซึ่งครอบคลุมชนิดของไอล ทั้งก๊าซและของเหลว ค่าสัมประสิทธิ์การถ่ายเทขายความร้อนแบบการพาความร้อนโดยเฉลี่ย h_m จะ หาได้จาก

$$h_m = (\int_0^L h(x)dx)/L \quad \dots\dots (2.45)$$

แทนค่า $h(x)$ จากสมการที่ (2.42) ลงในสมการที่ (2.45) จะได้ว่า

$$h_m = 2h(x) \Big|_{x=L} \quad \dots\dots (2.46)$$

หรือ

$$Nu_m = 0.662Pr^{1/3}Re^{1/2}; Re < 5 \times 10^5 \quad \dots\dots (2.47)$$

ทำนองเดียวกันล้าหัวสมการที่ (2.44) จะได้ว่า

$$Nu_m = 0.664Pr^{1/3}Re^{1/2} \quad \dots\dots (2.48)$$

ในการคำนวณค่าล้มเหลวที่การถ่ายเทความร้อน, h_w คุณสมบัติทางกายภาพของ流体ที่เกี่ยวข้องในการคำนวณ จะใช้ค่าคุณสมบัติที่อยู่กันเฉลี่ย (Arithmetic mean) ระหว่างอุณหภูมิของของไหลในช่วง external flow, T_∞ กับอุณหภูมิผิวของแผ่นร้าบ, T_s ซึ่งสามารถเปิดหาได้จากตารางในภาคผนวก ๗

2.3 สมการที่จะนำไปใช้ในการคำนวณ

2.3.1 สมการการพาราความร้อนเนื่องจากลมที่พัดผ่านแผงรับแสงอาทิตย์

$$Q_{\text{CONV}} = h_w A (T_s - T_\infty) \quad \dots \dots (2.49)$$

2.3.2 สมการ Nusselt number

$$Nu = h_w L/k \quad \dots \dots (2.50)$$

2.3.3 สมการ Reynold number

$$Re = \rho_\infty U_\infty L / \mu_\infty \quad \dots \dots (2.51)$$

2.3.4 สมการ Prandtl number

$$Pr = C_p \mu_\infty / k_\infty \quad \dots \dots (2.52)$$

2.3.5 สมการความสัมพันธ์ระหว่างตัวแปร ไรเมติ สำหรับการพาราความร้อนแบบบังคับในทางทฤษฎี

$$Nu = 0.664 Re^{1/2} Pr^{1/3} \quad \dots \dots (2.53)$$

2.3.6 สมการการคาดคะเนค่า h_w โดย McAdams (1954)

$$h_w = 5.7 + 3.8v \quad \dots \dots (2.54)$$

2.3.7 สูตรการคำนวณค่า h_w โดย Watmuff et.al(1977)

$$h_w = 2.8 + 3.0v \quad \dots \dots (2.55)$$

2.3.8 สูตรการคำนวณค่า h_w โดย Sparrow และ Tien

$$h_w = (0.931/\text{Pr}^{2/3})(\rho \cdot C_p \cdot v / \text{Re}^{1/2}) \quad \dots \dots (2.56)$$